

斜面上の碎波の水粒子速度について

京都大学工学部 正員 岩垣雄一, 酒井哲郎

川崎重工業 正員 〇月国康一, 三井建設 次井信樹

1. 緒論

斜面上での碎波またはそれに近い波の水粒子速度は、ノイード波理論やストークス波理論からは説明がつかない。このことは Mchale および岩垣・酒井・川島の研究でも明らかであるが、その理由を岩垣・酒井は、ノイード波理論に最高波条件を与えて計算した波の峰の位相での水平方向水粒子速度の最大値と波速の比 (U_{cmax}/C) が 1 よりはるかに大きくなることから説明している。従って、ここでは実験により碎波の波の峰および谷の位相での水平方向水粒子速度 ($U_{c(x)}$ および $U_{c(z)}$) の鉛直分布の特性と、波の条件、波形および碎波型との関係を探ることにした。

2. 実験方法

比重 0.98 および 1.02 で直径 2 mm の球をもたらし水面および水中の水粒子速度のトレーサとして高速度撮影機で撮影し、1/95.2 sec 間の移動距離から水粒子速度を得た。斜面は 1/10, 1/20 および 1/30 の一様勾配とし、碎波後の波は斜面上端を越えないようにした。周期は 1, 1.5 および 2 sec で波高は一樣水深部で 3.2 cm ~ 10.7 cm とした。

3. 碎波の流速分布形状と波の条件、波形および碎波型との関係

上記の条件で起きた波を、碎波時の峰の位相での流速分布形状により A, B および C の 3 つ(図 1 ～ 3)に分類した。図中 h_b は碎波水深、Z は静水面を原点とした鉛直上向きを座標、 η_c 、 η_s はこれより峰高、谷高(<0)で、縦軸は海底からの高さと峰および谷の位相での水面までの高さで割ったものである。A 型の流速分布型は、 $U_{c(x)}/\sqrt{gh_b}$ の値が 0 ≤ (縦軸の値) ≤ 0.5 ではほぼ一定でそれより上でもあまり増加せず、峰水面附近でのみ急激に増加しているものである。C 型は、縦軸の値が 0.5 よりかなり下の位置から $U_{c(x)}/\sqrt{gh_b}$ の値が増加はじめるが、増加率は峰水面までほぼ一定であり、かつ峰水面での $U_{c(x)}/\sqrt{gh_b}$ の値が大きいものとし、B 型は、A 型と C 型の中間のものとした。これらでこの 3 つの流速分布型と碎波時の $T\sqrt{h_b}$ および H_b/h_b (T : 波の周期、 H_b : 碎波高) との関係は図 4 のようになる。すなわち、図 4 の A 領域 ($T\sqrt{h_b} < H_b/h_b$ が小さい) の碎波は A 型、B 領域の碎波は B 型として C 領域 ($T\sqrt{h_b} > H_b/h_b$ が大きい) の碎波は C 型の流速分布形状を示すことがわかる。ここで斜面勾配 α と流速分布型の関係は、 α と H_b/h_b の関係を用いて図 4 から説明できることを示す。すなわち α と H_b/h_b は、従来の碎波限界の研究から $T\sqrt{h_b}$ の値が一定の場合互いに単調増加の関係にあることがわかる。従って図 4 から α (すなわち H_b/h_b) が大きくなると流速分布型は A 型から B 型そして C 型へと進行することがわかる。一方、目視観測により A 領域の碎波は崩れ波、B および C 領域では巻き波であることがわかる。以上のことを総合すると、A 領域 ($T\sqrt{h_b}, H_b/h_b$ および α が小さい) では崩れ波型碎波が起り流速分布形状は A 型であり、B 領域では巻き波で B 型として C 領域 ($T\sqrt{h_b}, H_b/h_b$ および α が大きい) では巻き波が起

こり流速分布形状はC型であるといえる。

次に碎波波形と流速分布形状の関係をより明確にするために図5を示し説明を加える。

Case III-I-Iは崩れ波型の碎波波形をもと、Case I-III-IIIは巻き波型の碎波波形をもつが、流速分布形状を前者はA型であり、後者はC型である。またこれらの碎波の $T\sqrt{h_b}$ や H_b/h_b の値を図4に示しておく。

4. 結論

碎波の流速分布形状と波の条件、波形および碎波型との関係を検討した結果、次のようないくつかの結論を得た。崩れ波型碎波は $T\sqrt{h_b}$, H_b/h_b や α が小さい時に起り、流速分布形状は峰水面上附近で流速分布勾配が急激に増加しそれより下ではあまり増加しない。巻き波型碎波は $T\sqrt{h_b}$, H_b/h_b や α が大きい時に起り、流速分布形状は峰水面上よりかなり下からある程度の流速分布勾配をもと、その勾配は水面まであまり増加しない。

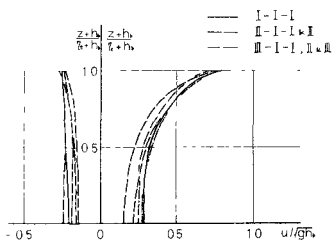


図1. A型の流速分布型

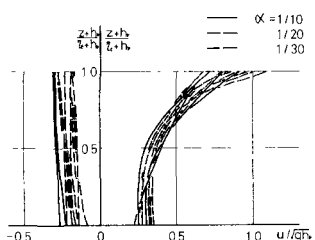


図2. B型の流速分布型

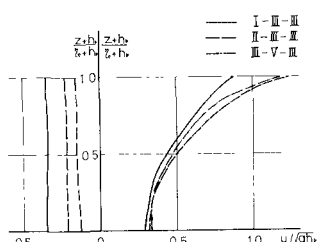


図3. C型の流速分布型

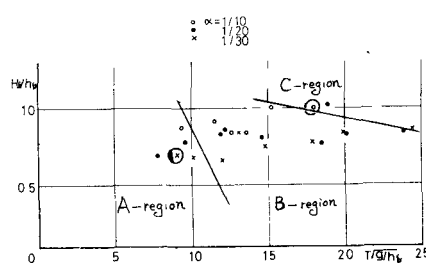


図4. 流速分布型と碎波時の $T\sqrt{h_b}$ や H_b/h_b との関係

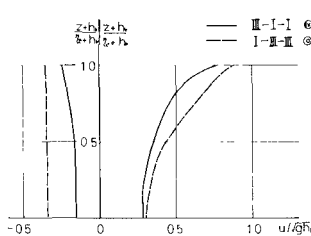
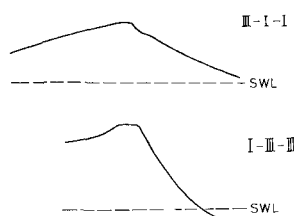


図5. 碎波波形と流速分布形状の関係